

九州大学工学部

学生員 ○綿引 稔一郎

九州大学工学部

正員 棚田 哲也

九州大学工学部

正員 粟谷 陽一

1. まえがき 下水処理場の最初沈殿池や最終沈殿池から発生した汚泥は処理段階に際し、前処理として濃縮が行われる。濃縮には一般に重力濃縮法が採用されているが、汚泥中の有機物含有量の年々の増加により汚泥密度の低下と汚泥からのガス発生量の増加が顕著となり、この結果、汚泥濃縮度の低下が生じ、問題となつてゐる。省エネルギーの観点から重力濃縮度の低下の防止は、1)汚泥見かけ密度の減少を引き起すガス発生の防止、2)発生ガスの汚泥固体への付着の防止、のいずれかが可能であるならば達成される。余剰汚泥におけるガス発生は、初期のガス発生期、それに続くガス発生の停滞期とその後のガス発生期を経ることがわかる。このため本報告では汚泥濃縮初期のガス発生停滞期に着目し、停滞期の特性を利用した濃縮実験を行い、濃縮度改善の可能性について検討を加えた。

2. 実験装置及び方法 下水処理場より採取した汚泥をガス捕集装置(図-1)ならびに汚泥槽(図-2)に入れ、発生ガス量と汚泥中の  $\text{NH}_4\text{-N}$ ,  $\text{NO}_2\text{-N}$ ,  $\text{NO}_3\text{-N}$ , アルカリ度の経時変化を測定した。ガスの発生量はマノメータの水位変化とシリニンジで採取したガス量の統和から求め、ガス成分はガスクロマトグラフにより調べた。濃縮には図-3に示す沈降筒を用いた。実験はガス発生の停滞した24時間後より開始した。実験開始に際してはタニク内に蓄えられた汚泥を強く攪拌し、発生ガスをバーナーしたものと沈降筒に入れた。濃縮実験は界面およびマーカー(直径3mmの円形発泡スチロールにブルキ板を差しつけたもの)の位置、および過剰間隙水圧の経時変化を測定した。濃縮実験は24時間行い、実験終了後、汚泥を数cm単位の層として取出し、各層の汚泥を遠心分離器にかけ(3600 rpm 20分)、固相と液相を分離し、汚泥固相の懸濁体積を求めた。実験に用いた汚泥試料は福岡市下水処理場の返送汚泥であり、SVIが163, SSが5980 mg/l であった。実験は20°Cの恒温室を行った。

3. 実験結果と考察 (1)ガス発生実験 発生したガスの累加ガス量とガス成分の経時変化を図-4, 図-5にそれぞれ示す。ガス発生過程には実験開始後より僅んにガスが出る初期ガス発生期、それに続くガス発生の停滞期と二度目のガス発生期があることがわかる。初期のガス発生期のガスの成分はほとんどが  $\text{N}_2$  であり、二度目のガス発生期には  $\text{CH}_4$  が検出され、メタン醜酵によるガス発生が始まることを示している。図-6, 図-7に  $\text{NH}_4\text{-N}$ ,  $\text{NO}_2\text{-N}$ ,  $\text{NO}_3\text{-N}$  とアルカリ度の経時変化を示す。 $\text{NO}_2\text{-N}$ ,  $\text{NO}_3\text{-N}$ とも実験開始後11時間目まで急速に減少していだが、 $\text{NH}_4\text{-N}$ は増加し続ける。このことから初期のガス発生は、実験開始時に存在した  $\text{NO}_2\text{-N}$ ,  $\text{NO}_3\text{-N}$ を消費した脱窒によるものと

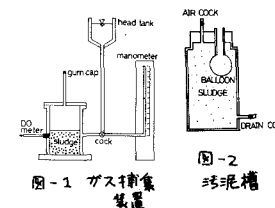


図-1 ガス捕集装置

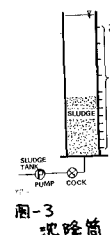


図-2 汚泥槽

図-3 沈降筒

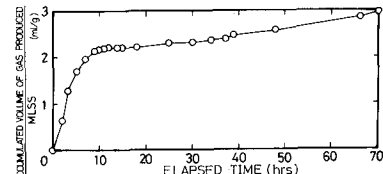


図-4 累加ガス量の経時変化

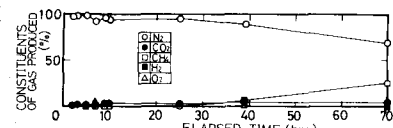


図-5 ガス成分の経時変化

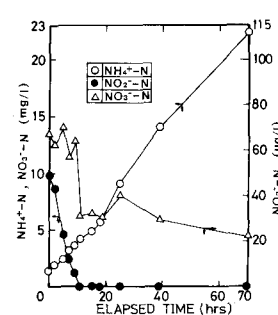
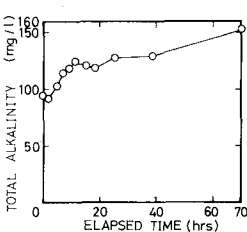
図-6  $\text{NH}_4\text{-N}$ ,  $\text{NO}_2\text{-N}$ ,  $\text{NO}_3\text{-N}$  の経時変化

図-7 アルカリ度の経時変化

考えられる。アルカリ度の上昇は1時間目で約30mg/lであり、これは $\text{NO}_3-\text{N}$ に換算すると8.4mg/lとなり脱窒を裏付けている。

## (2) 圧縮沈降実験 初期ガス発生期に続くガスの停滞期を利用して圧縮実験を行った。

〈基礎式〉 圧縮沈降の基礎式を固相(汚泥の実質部分), 流相(汚泥中の液体部分)と気相(発生ガス)とに分け、次の仮定のもとに以下のようになる。①汚泥の性状は均一, ②汚泥の固体成分および水の圧縮量は無視しえる, ③汚泥中の流体の排出は一軸的に行われ、 $Re$ は十分に小さい, ④汚泥の圧縮は一軸的に行われる, ⑤発生ガスの分布は一様, ⑥発生ガスは汚泥に付着し、汚泥固相と同一速度で移動する, ⑦発生したガスの気泡は微小なため、流体に対する運動上の境界条件は固体壁に対してもと同一, ⑧ガス発生による固体、液体の減少は無視できること, ⑨汚泥中の固・液相間の相対速度は汚泥全体の移動速度に左右されない, ⑩壁効果は無視できること, ⑪発生ガスの水圧による圧縮は無視しえること, ⑫発生ガスの溶解量は無視できること。

### 運動方程式

$$\text{汚泥液相: } \frac{\partial P_s}{\partial x} + \frac{M}{K} \left( V_e - \frac{\varepsilon_e}{\varepsilon_s} V_s \right) = 0 \quad \text{汚泥固相: } \frac{\partial P_s}{\partial x} - \frac{M}{K} \left( V_e - \frac{\varepsilon_e}{\varepsilon_s} V_s \right) + \left\{ \varepsilon_s (\varepsilon_s - \varepsilon_e) + \varepsilon_g (\varepsilon_g - \varepsilon_e) \right\} g = 0$$

### 連続の式

$$\text{汚泥液相: } \frac{\partial \varepsilon_e}{\partial t} + \frac{\partial V_e}{\partial x} = 0 \quad \text{汚泥固相: } \frac{\partial \varepsilon_s}{\partial t} + \frac{\partial V_s}{\partial x} = 0 \quad \text{汚泥気相: } \frac{\partial \varepsilon_g}{\partial t} + \frac{\partial V_g}{\partial x} = g g$$

体積分率  $\varepsilon_g + \varepsilon_s + \varepsilon_e = 1$  ここで  $V_e$ : 汚泥液相の体積フラックス,  $V_s$ : 汚泥固相の体積フラックス,  $V_g$ : 気相の体積フラックス,  $g_g$ : 単位時間当たりの発生ガス体積,  $\varepsilon_e, \varepsilon_s, \varepsilon_g$ : 液相、固相、気相の体積分率,  $P_s$ : 液相中の過剰間隙水圧,  $P_s$ : 固相中の有効応力,  $M$ : 粘性係数,  $K$ : 透水係数,  $\varepsilon_s, \varepsilon_s, \varepsilon_g$ : 固相、液相、気相の密度

図-8, 図-9に透水係数と液相体積分率の関係および有効応力と有効応力発生時の固体分率を差し引いた固体分率との関係を示す。発生ガスの停滞期中もわずかであるがガスの発生が認められた。圧縮実験中の発生ガス量は単位時間質量・単位時間当たり  $= 1.2025 \times 10^7 \text{ ml/g.sec}$  で前述の実験より求めた。透水係数と体積分率および有効応力と前述の固体分率の関係は両対数軸上で直線に乗ることが確認される。このことは透水係数は常に、また有効応力は固体分率  $\varepsilon_s$  が時間経過とともに増加する限り体積分率をパラメータとして表現できることを示している。両者の関数関係を次のように表し、ガス発生がないときの数値計算を行った。

$$S_e g K = 3.22 \times 10^{-6} \times \left\{ \varepsilon_e^3 / (1 - \varepsilon_e)^2 \right\}^{1.73} \quad P_s / S_e g = 2.1 \times (\varepsilon_s - \varepsilon_{sc})^{1.6}$$

ここで  $\varepsilon_{sc}$  は有効応力発生時の固体分率 図-10に数値計算結果を示す。一点鎖線は実験結果を、実線はガス発生を考慮した計算例を、点線はガス発生がないとした計算例を示す。底面での固体分率を各時間毎で比べると、ガス発生がないとき0.284、ガス発生があるとき0.250となり、圧縮度にガス発生の影響が大きいことが認められる。

4. あとがき ガス発生の停滞期を利用して重力圧縮の圧縮度の改善は可能と考えられる。嫌気性消化期に入った汚泥ではガス発生の停滞期が減少、または認められないと考えられ、さらに検討を加えた必要がある。また連続流型圧縮への適用についても今後検討していく予定である。

〔参考文献〕 1) 織引・楠田・栗谷: 第22回下水道協会研究懇親会(1985年6月) 2) 楠田: 生産に及ぼす調査(昭和55年度), 運営各都市

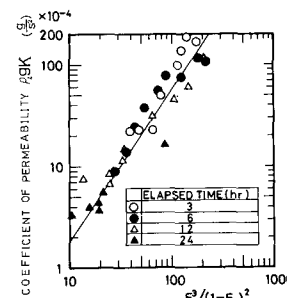


図-8 透水係数と体積分率の関係

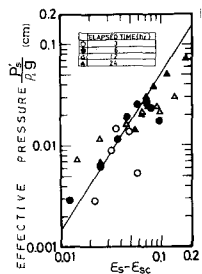


図-9 有効応力と固体分率の関係

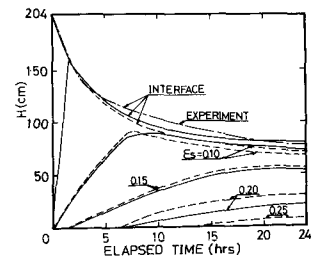


図-10 圧縮沈降の数値計算例